

Informe de Avance: 27 de Septiembre 2018

1. Resumen Agosto

1.1. Detalle de actividades Agosto 2018

- Subrutina de interpolación basada en perfil logarítmico.
- Streamplots de los resultados
- Redacción de tesis
- Acceso a MySQL de base de datos de Bolund.

1.2. Observaciones

- Corte de luz en servidor para Bolund.
- Simulación errónea Hovsore con DA.

2. Figuras

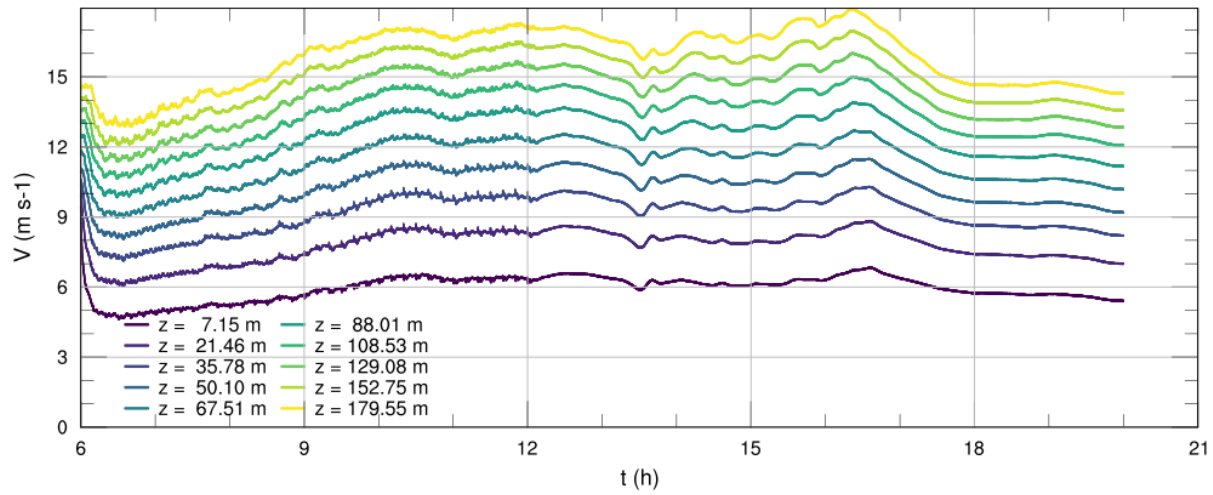


Figura 2.1: Serie de tiempo para la rapidez instantánea del viento V en los primeros niveles verticales para la simulación numérica.

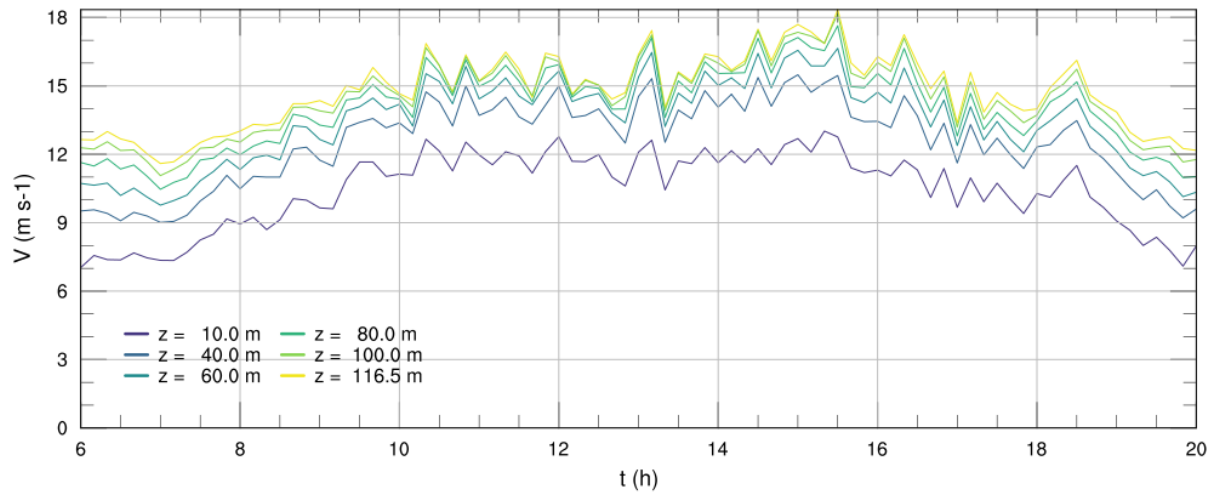


Figura 2.2: Serie de tiempo para la rapidez instantánea del viento V medida en el mástil.

$$u(z) = u(z_r) \frac{\ln(z/z_0)}{\ln(z_r/z_0)} \quad (2.1)$$

$$z_0 = 50 \text{ [mm]} \quad (2.2)$$

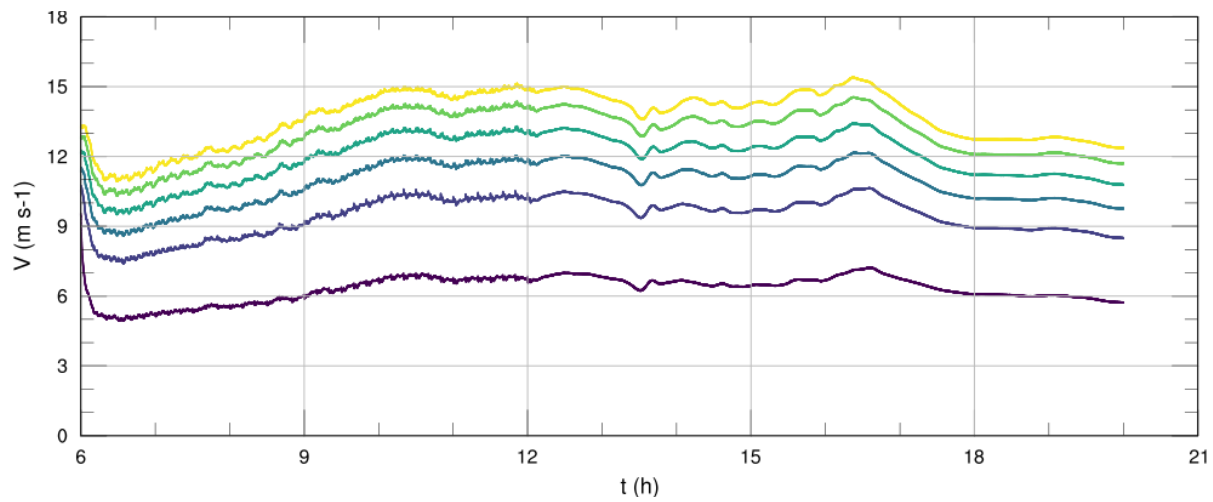


Figura 2.3: Serie de tiempo para la rapidez instantánea del viento V simulada e interpolada linealmente a los puntos del mástil.

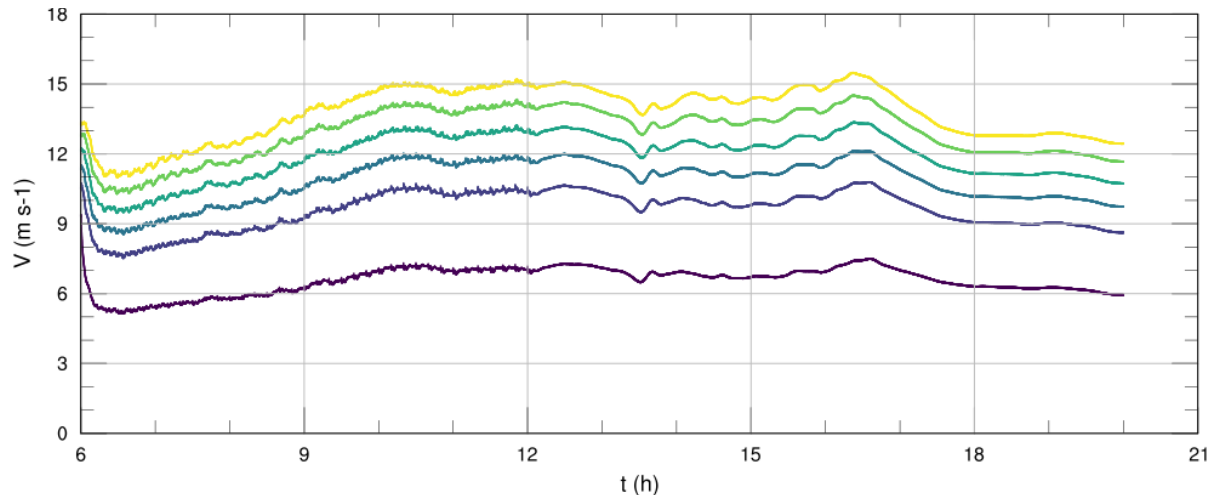


Figura 2.4: Serie de tiempo para la rapidez instantánea del viento V simulada e interpolada según ley logarítmica a los puntos del mástil.

Tabla 1: Estimación del error para Høvsøre.

Error	Interp. 1	Interp. 2
MAE	1,67858	1,65246
RMSE	3,27682	3,16246

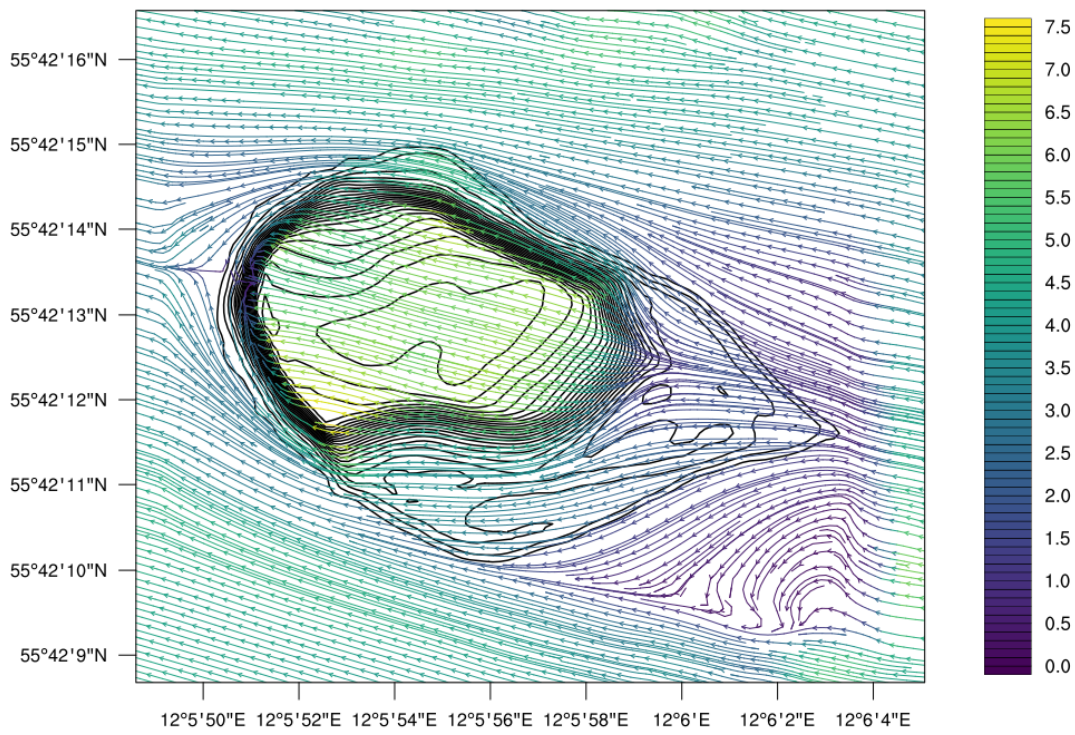


Figura 2.5: Gráfico de líneas de corriente para Bolund.

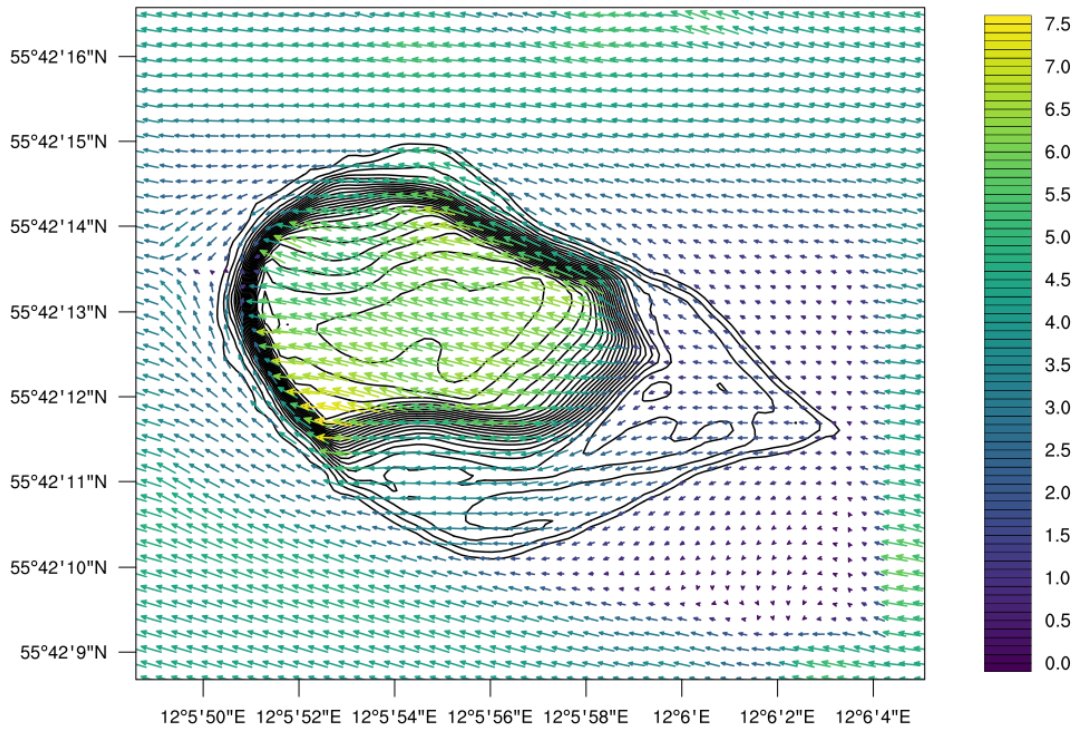


Figura 2.6: Gráfico de vectores para Bolund.

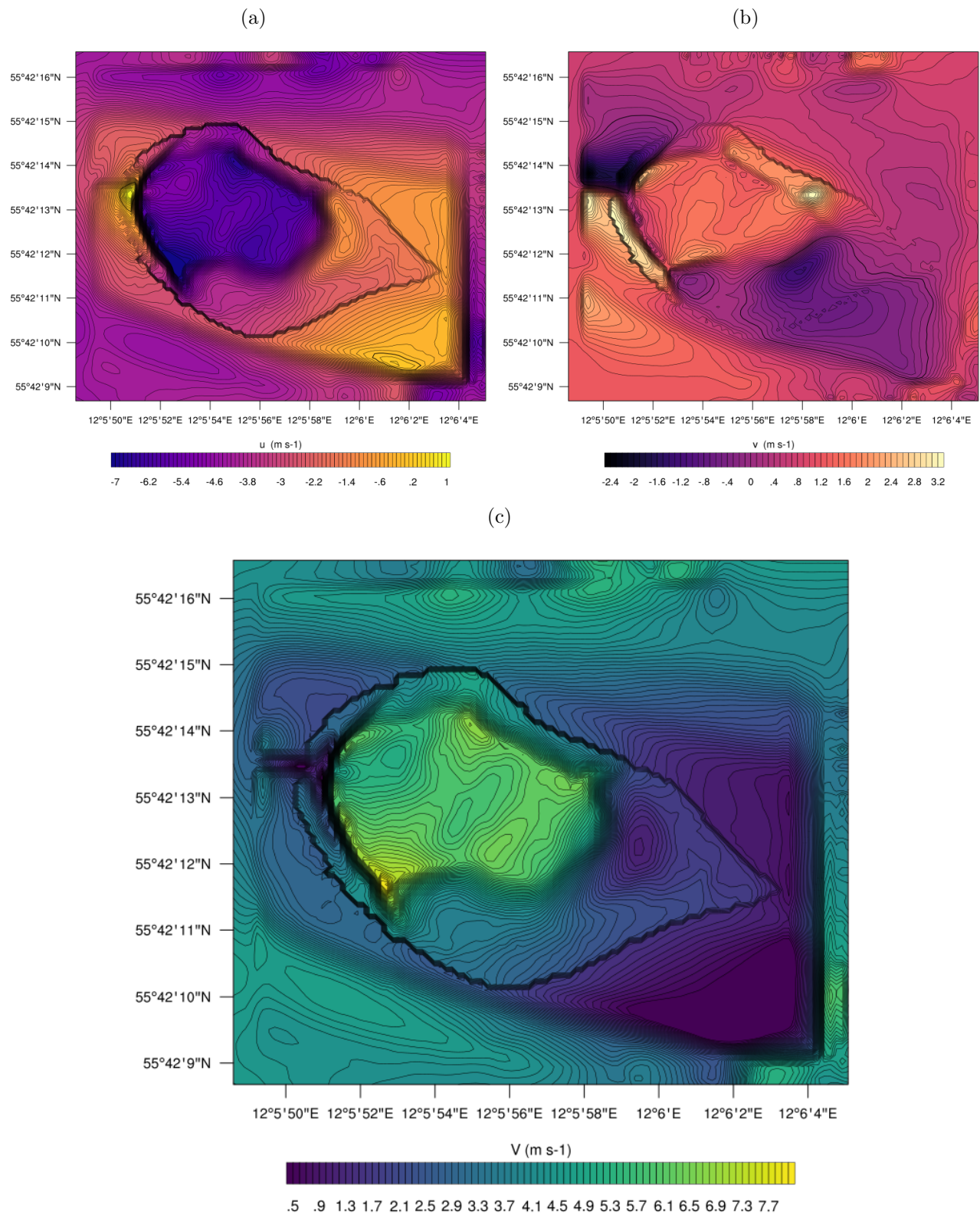


Figura 2.7: Resultados preliminares para la simulación del caso Bolund. Cada fila corresponde las componentes u , v y V de la velocidad a 10m de altura. Los resultados corresponden al pronóstico para las 7:30.